

COMPRESSÃO DE IMAGENS: PADRÃO JPEG

PTC3547 - CODIFICAÇÃO E TRANSMISSÃO MULTIMÍDIA

Guido Stolfi – EPUSP – 04/2018

1. Compressão de Imagens Estáticas

Iniciaremos os estudos de métodos de compressão de imagens analisando o processo JPEG, largamente usado para armazenamento de fotografias e desenhos. Os conceitos básicos deste processo serão expandidos posteriormente para englobar técnicas mais recentes de compressão de vídeo, como o MPEG e H.264.

Entre 1985 e 1990, foi organizado um comitê conjunto da ISO (International Organization for Standardization) e do CCITT (International Telegraph and Telephone Consultative Committee), hoje ITU-T, parte da ITU (International Telecommunications Union), com a finalidade de desenvolver um padrão de compressão de imagens. Este comitê recebeu a denominação de **JPEG** (Joint Photographic Experts Group).

O padrão JPEG, sintetizado na Recomendação JTC1 / 10918-2, especifica vários processos de compressão para imagens estáticas, incluindo um método de compactação (sem perdas) baseado em DPCM com preditores múltiplos. Já o método básico "com perdas", que é o mais utilizado, baseia-se na Transformada Discreta de Cossenos (DCT) para reduzir a correlação espacial entre as amostras, seguida de quantização variável e codificação estatística (Huffman). A figura 1.1 mostra um diagrama de blocos do processo JPEG básico.

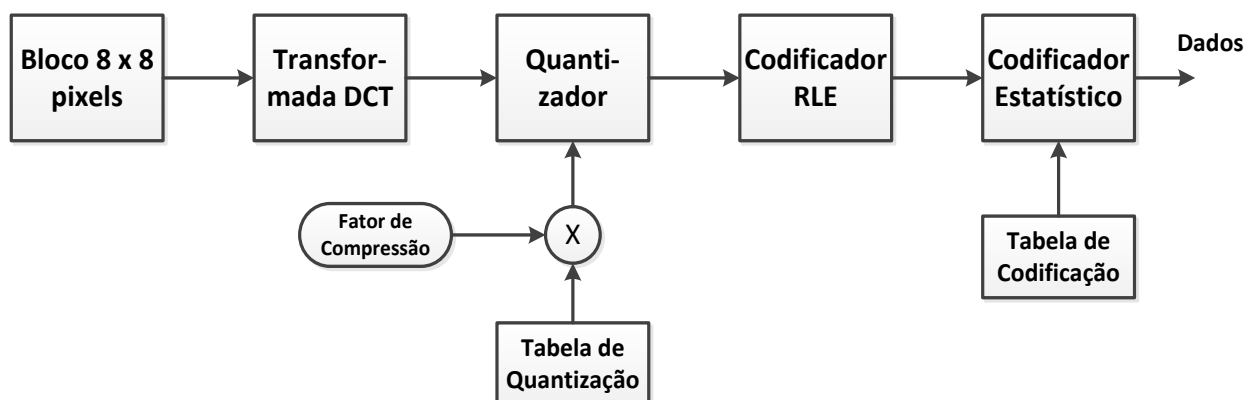


Figura 1.1 - Codificador JPEG

A **DCT**, assim como outras transformadas espaciais semelhantes usadas em outros processos de compressão, decompõe um bloco da imagem original na forma de uma soma ponderada de funções-base, ou primitivas, que são ortogonais entre si. Nesta etapa, a informação espacial contida na imagem é analisada e reagrupada em coeficientes que são relacionados ao conteúdo espectral da imagem.

As perdas (bem como a maior parte da compressão efetiva da informação) do processo são determinadas pela etapa de quantização, e a taxa de compressão pode ser aumentada, em detrimento da qualidade, ajustando-se um fator de escala no quantizador.

As etapas de codificação R. L. E. (*Run Length Encoding*) e Huffman otimizam a quantidade de bits usados para transmitir a informação quantizada.

O desempenho do padrão JPEG pode ser avaliado pela qualidade obtida para várias taxas médias de compressão. Na tabela abaixo, várias taxas são comparadas, tendo como referência imagens coloridas com estrutura de amostragem 4 : 2 : 0:

Bits / pixel	Taxa de Compressão	Qualidade da imagem reconstruída
0,08	150 : 1	Imagen reconhecível
0,25	50 : 1	Imagen usável
0,75	16 : 1	Boa qualidade
1,8	6,6 : 1	Excelente p/ uso doméstico
3,6	3,3 : 1	Qualidade de estúdio / produção
6	2 : 1	Indistinguível da original

Devemos ressaltar que o padrão JPEG é destinado à compressão de imagens “reais”, ou seja, com tonalidades contínuas, como as obtidas por processos fotográficos a partir de objetos reais. Não é adequado para compressão de imagens geométricas, de alto contraste e resolução (textos impressos e desenhos técnicos, por exemplo).

1.1 Blocos 8×8 e Transformada DCT

Se a imagem for colorida, descrita por componentes \mathbf{R}' , \mathbf{G}' , \mathbf{B}' (com correção gama), a etapa inicial consiste em um mapeamento para uma representação em componentes \mathbf{Y}' , \mathbf{U}' , \mathbf{V}' , através das seguintes expressões:

$$Y' = 0.3R' + 0.6G' + 0.1B' - 128$$

$$U' = \frac{B' - Y'}{2} + 0.5$$

$$V' = \frac{R' - Y'}{1.6} + 0.5$$

As componentes \mathbf{U}' e \mathbf{V}' podem ser sub-amostradas de modo a reduzir a resolução espacial pela metade, nos sentidos vertical e horizontal. A imagem é a seguir decomposta em blocos de 8×8 pixels, seja no plano da luminância como nos da crominância, sendo que estes blocos são processados independentemente uns dos outros. O dimensionamento dos blocos (8 × 8) leva em conta a resposta em frequência espacial da visão humana: supondo que a taxa de amostragem espacial foi adequadamente escolhida, a distância entre 2 pixels deve estar perto do limite de resolução visual (1 a 2 minutos de grau). Nestas condições, a dimensão do bloco corresponde a detalhes de aproximadamente 8 a 16 minutos de grau, para os quais a visão humana atinge sensibilidade máxima.

A transformada DCT de um bloco de imagem $f(x,y)$ é definida por:

$$F(u,v) = \frac{C(u)}{2} \frac{C(v)}{2} \sum_{y=0}^7 \sum_{x=0}^7 f(x,y) \cos\left[\frac{(2x+1)u\pi}{16}\right] \cos\left[\frac{(2y+1)v\pi}{16}\right]$$

onde
$$\begin{cases} C(k) = \frac{1}{\sqrt{2}} \text{ se } k = 0 \\ C(k) = 1 \text{ se } k > 0 \end{cases}$$

A função inversa é dada por

$$f(x, y) = \frac{1}{2} \left(\sum_{u=0}^7 \sum_{v=0}^7 C(u)C(v) F(u, v) \cos \frac{(2x+1)u\pi}{16} \cos \frac{(2y+1)v\pi}{16} \right)$$

o que equivale a:

$$f(x, y) = \sum_u \sum_v F(u, v) \cdot P(u, v)$$

onde $P(u, v)$ são as funções-base ou primitivas da DCT. Os coeficientes $F(u, v)$ correspondem às quantidades de cada função primitiva que devem ser combinadas para obtermos o bloco original da imagem. A fig. 1.2 mostra as 64 primitivas da DCT, na forma de imagens elementares 8×8 .

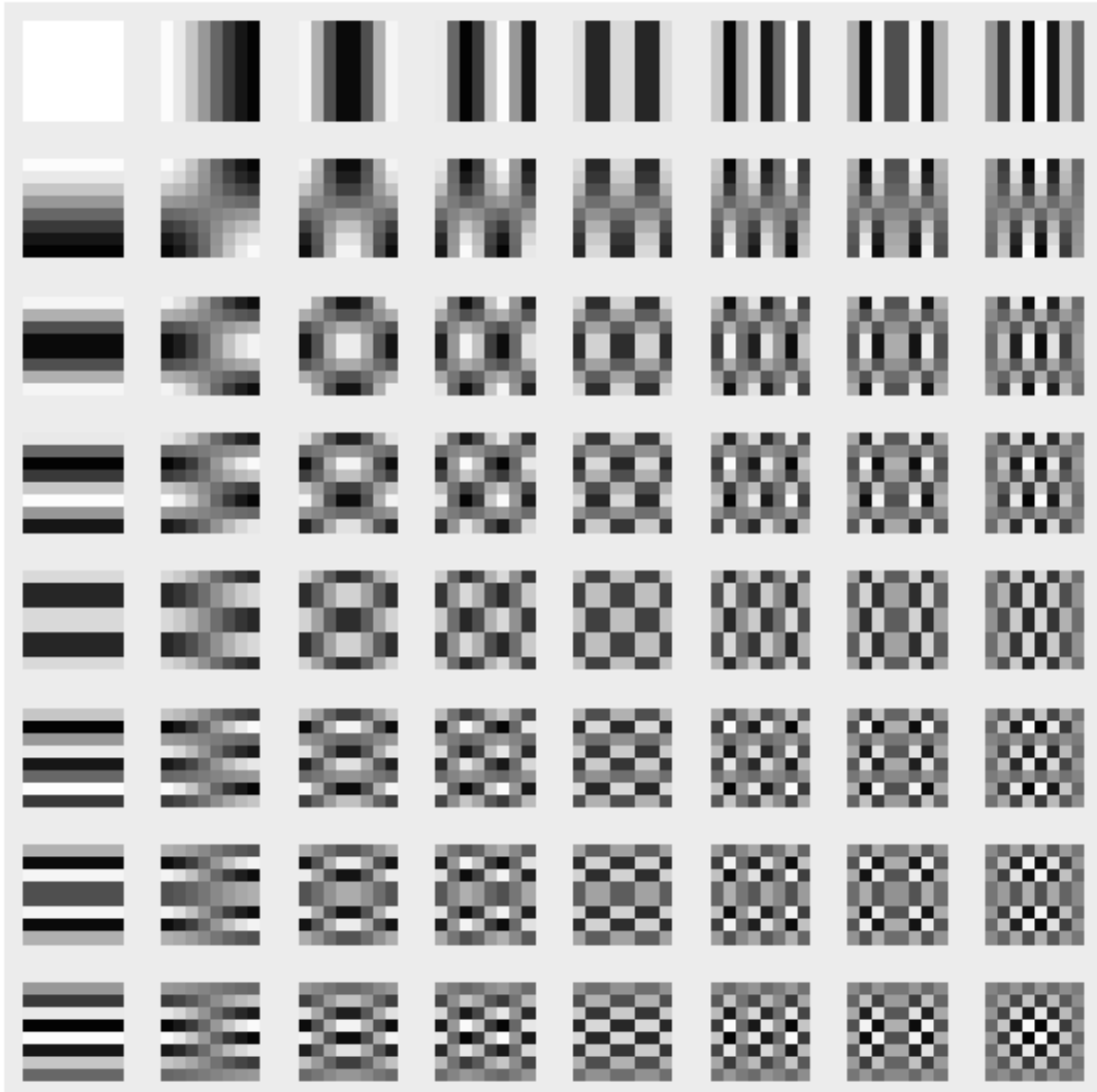


Fig. 1.2 - Primitivas, ou Funções-Base da DCT

A DCT é *separável*, ou seja, pode ser efetuada sequencialmente, primeiro no sentido horizontal e depois no vertical. Uma forma de implementar a DCT utilizando esta propriedade é através de um produto matricial:

$$DCT = \mathbf{C} \times \mathbf{B} \times \mathbf{C}^T$$

onde \mathbf{B} é um bloco de 8×8 pixels da imagem original e \mathbf{C} é uma matriz de transformação, definida por:

O código de Huffman utiliza uma tabela para codificar o par ordenado {quantidade de zeros + categoria} como um símbolo de comprimento variável, composto de um prefixo e de uma mantissa, cujo comprimento está implícito no prefixo.

A taxa de compressão efetiva do JPEG não é conhecida *a priori*, pois depende dos parâmetros estatísticos específicos da imagem. Atuando no parâmetro k (fator de compressão) conseguem-se taxas de compressão de 20:1 ou mais, mantendo degradação aceitável.

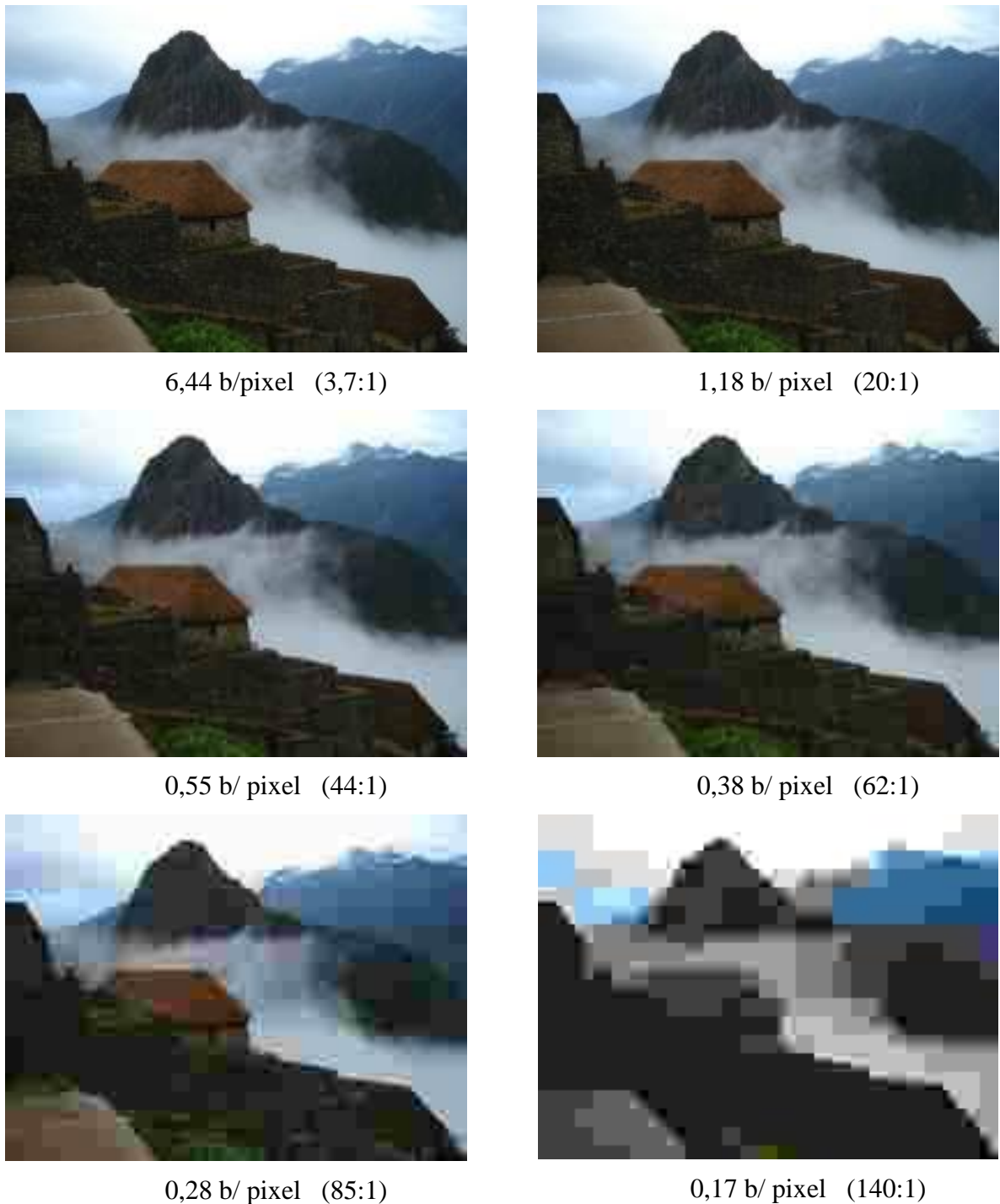


Fig. 1.5 – Exemplos de Codificação com Taxas Variadas

visualizada em condições normais, ou seja, onde o tamanho aparente de cada pixel esteja no limite da acuidade visual.

Quando o fator de compressão é muito elevado, o processo JPEG apresenta um efeito de descontinuidade nos contornos dos blocos, denominado de "blocagem", causado pelo fato de que o tratamento dado a cada bloco é independente dos demais. A "blocagem" pode ser reduzida pela aplicação de filtros na imagem reconstruída, ou pela superposição parcial dos blocos durante a codificação, embora estes recursos não estejam incorporados no padrão JPEG.

A figura 2.1 mostra uma imagem fotográfica típica, com resolução de 512 x 512 pixels. A mesma imagem, após codificação/decodificação JPEG, é mostrada na figura 2.2. Para esta imagem em particular, a taxa de compressão obtida foi de 22:1.

Na figura 2.3 podemos observar o efeito de “blocagem” no detalhe ampliado à direita. Em condições normais de visualização, no entanto, estas irregularidades não são facilmente observáveis.

A figura 2.4 mostra exemplos de blocos “fáceis” e “difíceis” (ou seja, capazes de taxas de compressão efetiva respectivamente alta e baixa) que podem ser encontrados em imagens reais.



Fig. 2.1 – Imagem original (“Lena”)



Fig. 2.2 – Imagem Comprimida por JPEG (aprox. 22:1)

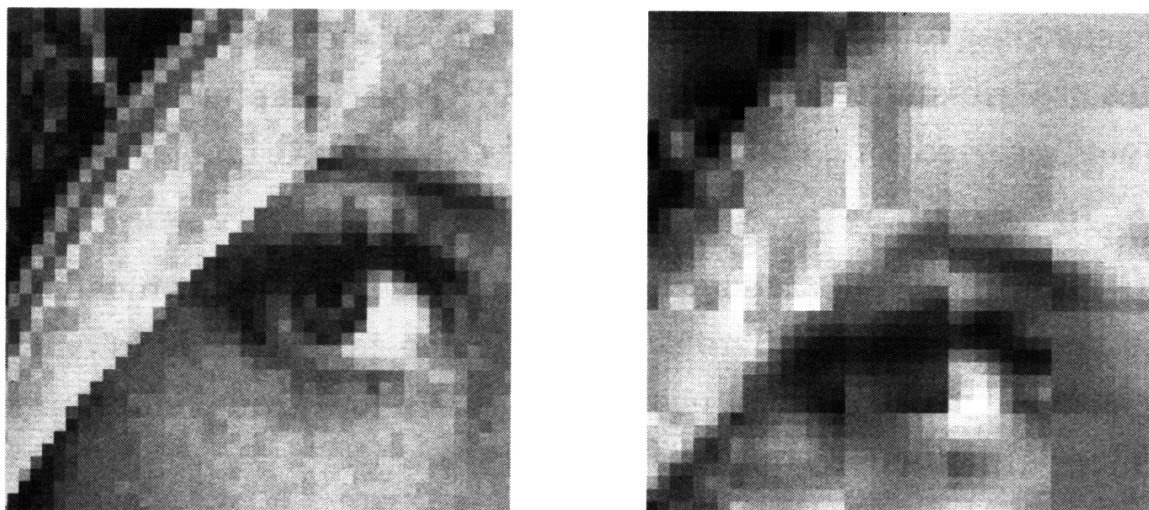


Fig. 2.3 – Detalhes Ampliados da Imagem “Lena”: Original e Comprimido

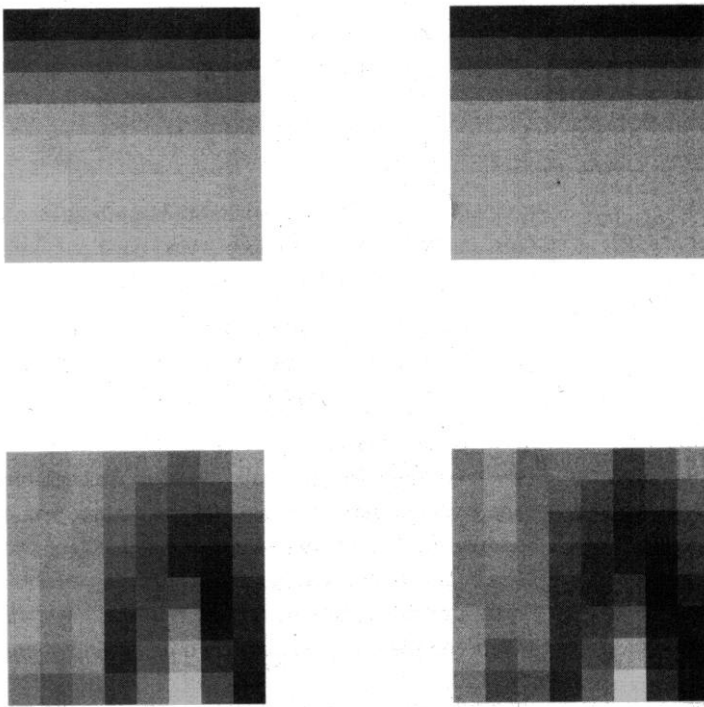


Fig. 2.4 – Blocos Típicos de Imagens Reais: Originais (esq.) e Comprimidos (Dir.)

3. Outras Transformações para Decorrelação Espacial

A transformada DCT possui propriedades excelentes no que diz respeito à eliminação de redundâncias espaciais, sendo essa a razão pela qual é utilizada no JPEG. Entre essas propriedades, podemos destacar:

- Separabilidade
- Coeficientes reais (não exige aritmética complexa)
- Existência de algoritmos rápidos (cerca de 50 multiplicações e 400 somas / deslocamentos para DCT 8×8).
- Minimização de efeitos de descontinuidades nas bordas dos blocos

Entre outras transformações de interesse para compressão de imagens, temos as transformadas de Hadamard, de Walsh e de Karhunen-Loéve (ou Hotelling).

A transformada de Walsh utiliza primitivas (funções base) binárias (figura 3.1), e é obtida por:

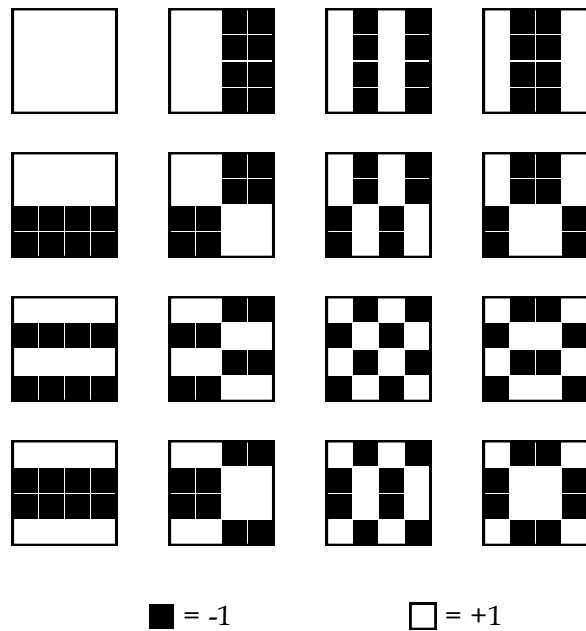
$$W(u, v) = \frac{1}{N} \sum_{x=0}^{N-1} \sum_{y=0}^{N-1} f(x, y) \prod_{i=0}^{n-1} (-1)^{[b_i(x)b_{n-1-i}(u)+b_i(y)b_{n-1-i}(v)]}$$

onde $b_k(z)$ é o k -ésimo bit da representação binária de z .

A transformada de Hadamard é semelhante à de Walsh (para N igual a potências de 2, as funções base são as mesmas, porém reordenadas), sendo dada por:

$$H(u, v) = \frac{1}{N} \sum_{x=0}^{N-1} \sum_{y=0}^{N-1} f(x, y) (-1)^{\sum_{i=0}^{n-1} [b_i(x)b_i(u) + b_i(y)b_i(v)]}$$

As funções-base destas transformadas, sendo binárias, favorecem o processamento da imagem uma vez que dispensam multiplicações.



■ = -1

□ = +1

Fig. 3.1 - Funções Base para Transformada de Walsh 4x4

Já a transformada de Karhunen-Loéve (KLT) é ótima, no sentido de que minimiza a correlação entre os coeficientes. No entanto, as funções-base dependem das características da imagem, dificultando a aplicação prática desta transformação. Suponhamos que uma imagem seja representada por um conjunto de vetores aleatórios (por exemplo, blocos de n pixels de uma

imagem) da forma $\mathbf{x} = \begin{bmatrix} x_1 \\ x_2 \\ \vdots \\ x_n \end{bmatrix}$; e seja $\mathbf{m}_x = E\{\mathbf{x}\}$ o vetor médio desse conjunto;

A Matriz de Covariância desse conjunto de vetores é dada por:

$$\mathbf{C}_x = E\{(\mathbf{x} - \mathbf{m}_x)(\mathbf{x} - \mathbf{m}_x)^T\} \quad (n \times n)$$

Sejam então \mathbf{e}_i e $\lambda_i, i = 1, 2, \dots, n$ os n autovetores e correspondentes autovalores da matriz de covariância, ordenados em ordem decrescente de modo que $\lambda_k \geq \lambda_{k+1}$; e seja \mathbf{A} a matriz composta pelos autovetores correspondente mente ordenados:

$$\mathbf{A} = \begin{bmatrix} \mathbf{e}_1 \\ \mathbf{e}_2 \\ \vdots \\ \mathbf{e}_n \end{bmatrix}$$

Então a expressão $\mathbf{y} = \mathbf{A}(\mathbf{x} - \mathbf{m}_x)$ corresponde à Transformada de Karhunen-Loève baseada no conjunto de vetores x .

Algumas propriedades da KLT são:

- ⇒ Elementos de y são descorrelacionados;
- ⇒ Erro quadrático médio da reconstrução é minimizado;
- ⇒ Funções-base (Matriz A) dependem da imagem analisada.

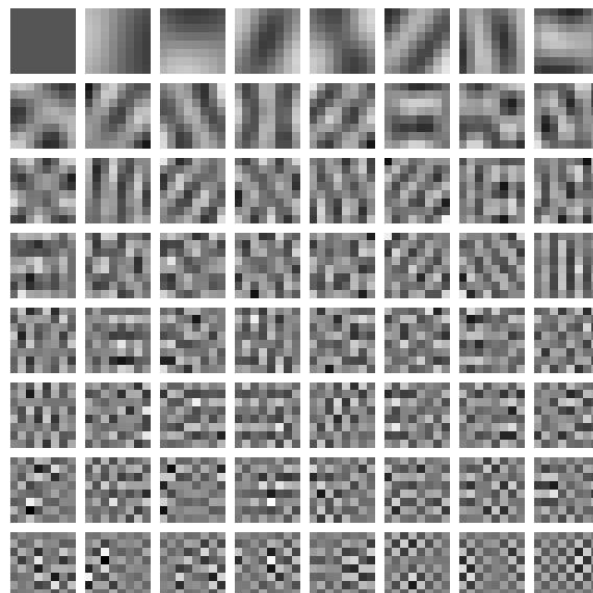


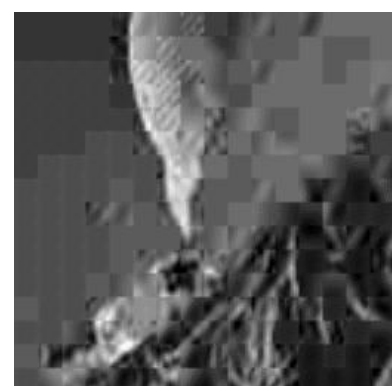
Fig. 3.2 – Exemplo de primitivas KLT para a imagem “Lena”



a) Original



b) Compressão 10:1



c) Compressão 20:1

d) Compressão 40:1

Fig. 3.3 - Erros de Reconstrução pela transformada KLT

4. Tabelas de Codificação JPEG

A representação dos coeficientes quantizados no JPEG, por codificação entrópica, é composta de um prefixo de comprimento variável, seguido por um campo de codificação do valor do coeficiente (também de comprimento variável). Os prefixos definem categorias de comprimento para as palavras codificadas, e correspondem à quantidade de bits necessária para representação do valor do coeficiente quantizado. Por exemplo, a categoria 5 reserva 5 bits para codificar os 32 valores compreendidos no intervalo [-31 a -16 e +16 a +31]. A tabela 4.1 mostra as categorias correspondentes a cada faixa de valores representáveis dos coeficientes (DC ou AC). Podem ser representados coeficientes DC de -2047 a +2047, e coeficientes AC de -1023 a -1 e de +1 a +1023.

Faixa de Valores	Categoria p/ coef. DC	Categoria p/ coef. AC
0	0	N/A
-1, 1	1	1
-3, -2, 2, 3	2	2
-7, ..., -4, 4, ..., 7	3	3
-15, ..., -8, 8, ..., 15	4	4
-31, ..., -16, 16, ..., 31	5	5
-63, ..., -32, 32, ..., 63	6	6
-127, ..., -64, 64, ..., 127	7	7
-255, ..., -128, 128, ..., 255	8	8
-511, ..., -256, 256, ..., 511	9	9
-1023, ..., -512, 512, ..., 1023	A	A
-2047, ..., -1024, 1024, ..., 2047	B	N/A

Tabela 4.1 - Categorias de Codificação de Coeficientes DC e AC p/ JPEG

Categoria	Prefixo	Comprimento Total	Bits na Mantissa
0	010	3	0
1	011	4	1
2	100	5	2
3	00	5	3
4	101	7	4
5	110	8	5
6	1110	10	6
7	11110	12	7
8	111110	14	8
9	1111110	16	9
A	11111110	18	10

Tabela 4.2 - Prefixos para Coeficientes DC

A tabela 4.2 fornece os prefixos e o comprimento total dos símbolos codificados para as categorias correspondentes aos coeficientes DC (correspondentes a $F(0,0)$ após quantização). Por exemplo: um coeficiente DC de valor +200 é representável pela categoria 8 (que cobre a faixa de valores de -255 a -128 e de +128 a +255). Na tabela 4.2, vemos que o prefixo correspondente é 111110 e o comprimento total é 14 bits; restam portanto 8 bits para codificar o valor 200 dentro da faixa coberta por aquela categoria. Dentro desta faixa os valores são codificados da seguinte maneira:

Valor	Código
-255	00000000
-254	00000001
-253	00000010
...	
-128	01111111
+128	10000000
+129	10000001
...	
+255	11111111

Desta forma, o valor 200 será codificado como **11001000**; concatenando-o com o prefixo, temos então que $+200 = \mathbf{111110\ 11001000}$.

Já para os coeficientes AC, a tabela 4.3 traz, para cada combinação de {quantidade de zeros / categoria de representação do valor do coeficiente}, o correspondente prefixo e o comprimento total do símbolo. Por exemplo, para uma sequência de 2 coeficientes nulos seguidos de um coeficiente igual a -17 (ou seja, { 0 / 0 / -17 }) temos, pela tabela 4.1, que a categoria 5 é adequada para representar o valor -17, através de uma mantissa de 5 bits.

Esta mantissa será representada por uma sequência 01110. Na tabela 4.3, o prefixo correspondente à combinação (2 / 5), ou seja, dois zeros e um valor da categoria 5, é **111111110001010**. Acrescentando a mantissa do coeficiente, chegamos a **111111110001010 01110**.

5. Codificação JPEG-2000

O padrão ISO-IEC 15444-1:2000, conhecido como JPEG 2000, utiliza transformada por “Wavelets” para efetuar a decomposição espectral da imagem. Esta transformada se baseia na aplicação de filtros complementares, passa-baixas e passa-altas, que subdividem o espectro de frequências espaciais da imagem em uma partição binária (logarítmica), ao contrário da DCT, que efetua uma subdivisão linear.

Um “Wavelet”, no caso, é uma função que representa a resposta ao impulso de um filtro (passa-baixas ou passa-altas), e que permite a análise combinada nos domínios da frequência e do espaço. O padrão JPEG 2000 pode utilizar “Wavelets” de dois tipos: *Daubechies* (irreversíveis) e *LeGall* (reversíveis), conforme fig. 5.1.

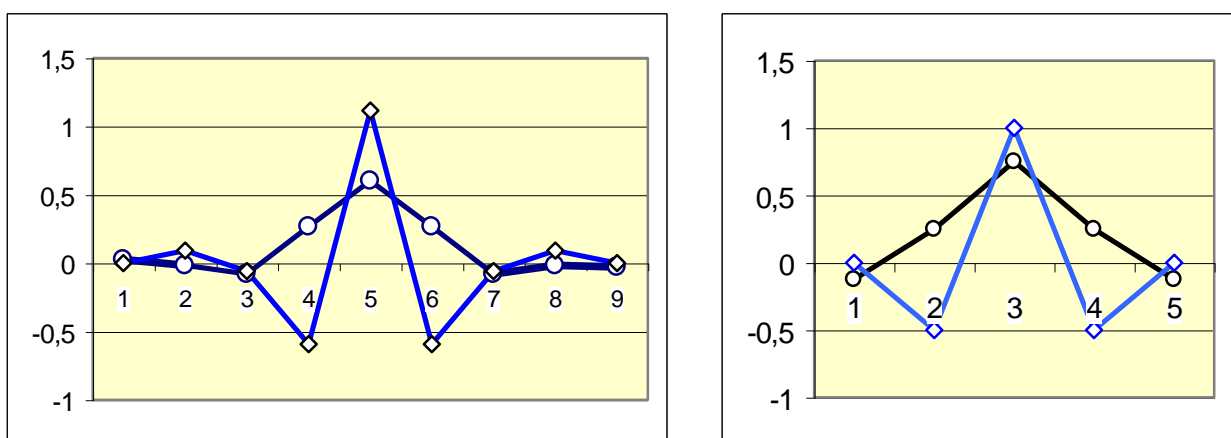


Fig. 5.1 – Wavelets tipo Daubechies (esq.) e LeGall (dir.). \diamond = Passa-altas; \circ = Passa-baixas

A aplicação de um par de filtros (passa-altas e passa-baixas) no sentido horizontal, sobre a imagem original, produz duas novas imagens, cada uma com metade do conteúdo espectral na direção H. Aplicando novamente o mesmo par de filtros nessas duas imagens, mas no sentido vertical, obtemos 4 novas imagens, cada uma contendo uma combinação de conteúdo espectral nos sentidos H e V: baixo/baixo, baixo/alto, alto/baixo e alto/alto.

Uma vez que cada nova imagem possui espectro limitado à metade da frequência de Nyquist correspondente, as 4 imagens obtidas podem ser decimadas na proporção 2:1, resultando assim em 4 sub-imagens, contendo cada qual a informação referente à metade do espectro de frequências espaciais (nos sentidos H e V):

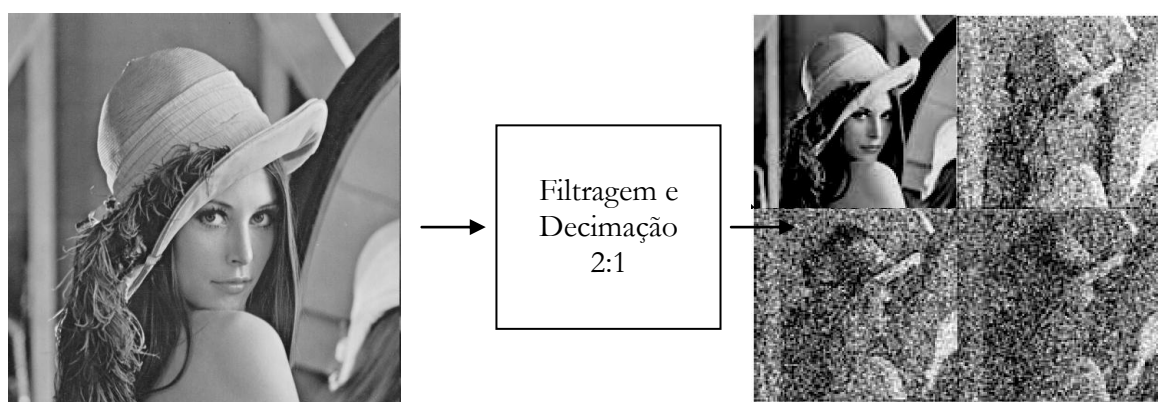


Fig. 5.2 – Resultado da filtragem por “Wavelets” seguida de decimação 2:1

O processo é repetido na sub-imagem correspondente às baixas frequências nos sentidos horizontal e vertical, ou seja, na parte superior esquerda da imagem resultante da associação das 4 sub-imagens, e assim sucessivamente (fig. 5.3), até eventualmente resultar em uma única amostra, cujo valor representa a intensidade média da imagem (frequência zero).

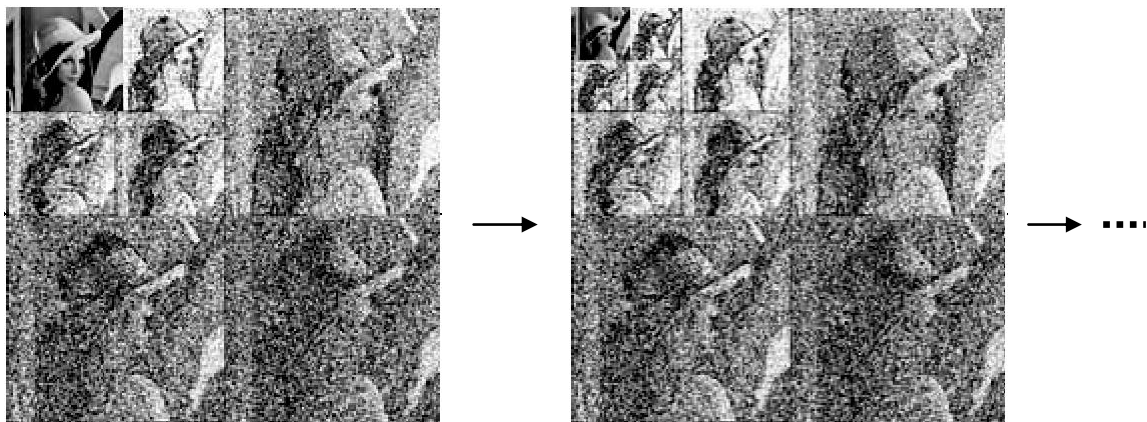


Fig. 5.3 – Etapas sucessivas de filtragem e decimação no JPEG 2000

Cada sub-imagem obtida em cada etapa será então quantizada, e as amostras não nulas resultantes são compactadas e codificadas em símbolos de comprimento variável.

Além disso, o padrão JPEG 2000 utiliza a chamada “Codificação Aritmética” para compactar os símbolos a serem transmitidos. Pelo fato de operar sobre as probabilidades condicionais de conjuntos de símbolos, esta codificação permite compressão mais eficiente do que a codificação de Huffmann, que opera sobre símbolos independentes entre si.



Fig. 5.4 – Imagem comprimida 32:1 (0,25 bits por pixel, à esq.) e 128:1 (0,0625 bits/pixel, à dir.) com processo de “wavelets”

A codificação JPEG 2000 proporciona economias significativas na taxa de bits necessária, em relação ao JPEG “baseline”, para mesma qualidade aparente. Pelo fato de poder operar com

regiões de qualquer formato e dimensão, apresenta-se relativamente livre de efeitos de “blocagem”, como pode ser visto nas figuras 5.4 e 5.5. No entanto, a complexidade computacional é substancialmente maior que o JPEG convencional.



Fig. 5.5 – Imagens codificadas em JPEG (esq.) e JPEG 2000 (dir.), à taxa de 0,25 bits por pixel

6. Aplicação do processo JPEG em imagens em movimento: M-JPEG, DV e DCP

O termo M-JPEG refere-se a um método de codificação de imagens em movimento no qual cada quadro de uma sequência é codificado utilizando o processo JPEG (ou algum algoritmo semelhante). Este método não é padronizado, levando a sistemas incompatíveis entre si, mas que são usados basicamente na manipulação e armazenamento de imagens em sistemas de edição de vídeo.

O padrão DV, utilizado nos gravadores DVC (*Digital Video Cassette*), também é similar ao M-JPEG, mas permite codificação de imagens entrelaçadas. O codificador DV opera com taxa de bits fixa, alterando dinamicamente a matriz de quantização de forma a manter taxas de 12.5 Mb/s (modo SDL – *Standard Definition, Long Play*), 25 Mb/s (Modo SD – *Standard Definition*) ou 50 Mb/s (Modo HD – *High Definition* para HDTV).

O padrão DCP (Digital Cinema Package) é usado para distribuir conteúdo cinematográfico, sendo que a informação de vídeo consiste de imagens codificadas em JPEG-2000 em taxas de 24 a 60 fotogramas por segundo. A resolução alcança 2160 x 4096 pixels por quadro, usando quantização de 12 bits e espaço colorimétrico XYZ. Adota uma restrição na taxa de bits, permitindo no máximo 250 Mbps.

7. Referências

Digital Image Processing - Rafael C. Gonzales, Richard E. Woods - Addison Wesley, 1992

Digital Vídeo and HDTV: Algorithms and Interfaces – Charles Poynton – Morgan Kaufmann, 2003

Video Engineering - Andrew F. Inglis, Arch C. Luther - Mc Graw-Hill, 1996

Video Compression – Peter D. Symes – Mc Graw-Hill, 1998

The JPEG Still Picture Compression Standard – Gregory K. Wallace – IEEE Transactions on Consumer Electronics, Vol. 38, 1992

The JPEG 2000 Still Image Compression Standard – A. Skodras, C. Christopoulos, T. Ebrahimi – IEEE Signal Processing Magazine, Set. 2001, p. 36 (Figs. 5.2, 5.3 e 5.5)

Compression in Video and Audio – John Watkinson – Focal Press, 1995 (Figs. 2.1 a 2.4)

Digital Video Processing - A. Murat Tekalp – Prentice Hall, 1995

Karhunen-Loëve Transform - R. D. Dony - The Transform and Data Compression Handbook, Ed. K. R. Rao and P.C. Yip - CRC Press, 2001 (figs. 3.2 e 3.3)

Wavelet-Based Image Compression - James S. Walker - The Transform and Data Compression Handbook, Ed. K. R. Rao and P.C. Yip - CRC Press, 2001 (fig. 5.4)